

## Estudio del efecto fotocromático que presentan los vidriados opacificados por esfena

E. BOU<sup>(1)</sup>, M.J. ORTS<sup>(1)</sup>, C. MOREDA<sup>(1)</sup>, A. GOZALBO<sup>(1)</sup>, R. GIMENO<sup>(2)</sup>, A. SÁNCHEZ<sup>(2)</sup>

<sup>(1)</sup> Instituto de Tecnología Cerámica (ITC). Asociación de Investigación de las Industrias Cerámicas (AICE). Universitat Jaume I. Castellón. España.  
<sup>(2)</sup> FRITTA, S.L. Onda, Castellón.

Este trabajo ha sido presentado como comunicación oral, tras su evaluación por el Comité Científico, en el XII Foro Global del Recubrimiento Cerámico. QUALICER (13 y 14 febrero 2012. Castellón. España).

Los vidriados blancos opacificados por esfena, basados en el sistema  $\text{SiO}_2\text{-CaO-TiO}_2$ , son una alternativa a los vidriados en los que la fase opacificante es el circon. Sin embargo, se ha observado que este tipo de vidriados presentan fotocromismo (cambio de color reversible tras la exposición a una fuente de luz), el cual consiste en la aparición de una tonalidad amarillenta tras someter el vidriado a la luz solar durante varias horas, que desaparece al cabo de varios días. Este efecto hace que la utilización de este tipo de vidriados no se haya generalizado.

En el presente trabajo se establece un método para la cuantificación del efecto fotocromático mediante el uso de una fuente de luz ultravioleta. La caracterización microestructural de vidriados con distinta tendencia a presentar el efecto fotocromático ha permitido establecer las posibles causas que provocan el efecto fotocromático. Finalmente, se han realizado una serie de ensayos que ponen de manifiesto que el efecto fotocromático está relacionado con las impurezas presentes en el vidriado así como con el tipo y cantidad de fases cristalinas presentes en su seno.

*Palabras clave:* Vidriados, opacificación, esfena, fotocromismo

### Study of the photochromic effect exhibited by sphene-opacified glazes.

White glazes opacified by sphene, based on the system  $\text{SiO}_2\text{-CaO-TiO}_2$ , are an alternative to the glazes in which the opacifying phase is zircon. However, it has been observed that this type of glaze displays photochromism (reversible change of colour after exposure to a light source), involving the appearance of a yellowish shade after the glaze has been subjected to sunlight for several hours, which then disappears after a few days. This effect has led to limited use of this type of glaze.

In this study, a method of quantifying the photochromic effect by means of a UV light source is established. The microstructural characterisation of glazes with a pronounced tendency to display a photochromic effect has allowed the possible causes of the photochromic effect to be determined. Finally, a series of tests have been conducted that show that the photochromic effect is related to the impurities present in the glaze, as well as to the type and quantity of crystalline phases contained in the glaze.

*Keywords:* Glazes, opacification, sphene, photochromism

## 1. INTRODUCCIÓN

Los vidriados blancos opacificados por esfena, basados en el sistema  $\text{SiO}_2\text{-CaO-TiO}_2$ , son una alternativa a los vidriados en los que la fase opacificante es el circon. Sin embargo, se ha observado que este tipo de vidriados presentan fotocromismo (cambio de color reversible tras la exposición a una fuente de luz)(1), el cual consiste en la aparición de una tonalidad amarillenta tras someter el vidriado a la luz solar durante varias horas, que desaparece al cabo de varios días en ausencia de luz. Este efecto hace que su utilización no se haya generalizado.

El objetivo principal de este estudio es determinar las causas que producen el efecto fotocromático en los vidriados blancos opacificados por esfena, y proponer líneas de trabajo para la obtención de vidriados que no presenten dicho efecto.

La bibliografía existente sobre los vidriados blancos opacificados por esfena es muy escasa(2)(3)(4)(5), no

habiéndose encontrado información sobre la existencia del efecto fotocromático en este tipo de vidriados. Sin embargo, es un efecto que aparece en los vidriados que contienen óxido de titanio y, aunque no se ha llegado a conocer sus causas, se indica que la intensidad del fotocromismo depende de la existencia de impurezas de óxido de hierro y de compuestos de sodio (6). En uno de los trabajos encontrados (7) se llegó a concluir que el efecto fotocromático es una propiedad de los cristales suspendidos en la matriz vítrea que contienen titanio y no del propio vidrio en sí.

En la bibliografía (8) también se indica que algunos pigmentos de anatasa de calidad inferior muestran un oscurecimiento cuando se someten a una radiación intensa. Los cambios son reversibles y se asocian a la presencia de  $\text{Ti}^{+3}$ . Otros autores (9)(10) proponen que el efecto es debido a la presencia de impurezas de hierro y tántalo; cuando se irradian

las muestras se produce una transferencia electrónica desde la impureza al  $Ti^{+4}$  formándose el  $Ti^{+3}$ . Se ha encontrado una patente sobre la producción de un pigmento fotocromático (11), dicho pigmento consiste en anatasa con impurezas de hierro.

Algunos minerales de titanio, entre ellos la esfena ( $CaTiSiO_5$ ) presentan luminiscencia (12), la cual podría ser la causante del efecto fotocromático en los vidriados considerados en este trabajo. La luminiscencia puede ser debida a la existencia de centros luminiscentes como el  $Ti^{+3}$  y diferentes impurezas como  $Pb^{+2}$  y  $Mn^{+2}$  substituyendo al  $Ca^{+2}$ ,  $Cr^{+3}$  o  $Mn^{+4}$  substituyendo al  $Ti^{+4}$  y  $Cr^{+4}$ ,  $Cr^{+5}$  y  $Fe^{+3}$  substituyendo al  $Si^{+4}$ .

Teniendo en cuenta la bibliografía encontrada y los resultados de unos ensayos preliminares realizados con vidriados con distinto comportamiento frente a la radiación solar, se decidió centrar el estudio en la determinación de la influencia del contenido en impurezas de hierro y en esfena sobre el efecto fotocromático que presentan los vidriados opacificados por esfena.

## 2. ENSAYOS PRELIMINARES

Industrialmente se había observado que los vidriados brillantes de titanio presentan un cambio de color, hacia tonalidades más amarillas, cuando se sometían a una exposición a la luz solar, mientras que los mates de titanio no; además, el efecto era más acusado cuando se utilizaba caolín en la preparación de los vidriados. Dicho amarilleamiento nunca se había observado anteriormente con los vidriados opacificados por la desvitrificación de circón (vidriados opacos tradicionales), y desaparece con el tiempo si las piezas se dejan en la oscuridad. En la Tabla I se incluye una descripción de los vidriados blancos y opacos que se utilizaron en la realización de los ensayos preliminares.

TABLA I. DESCRIPCIÓN DE LOS VIDRIADOS EMPLEADOS EN LA REALIZACIÓN DE LOS ENSAYOS PRELIMINARES.

Ref	Acabado	Composición	Cambio de color con la luz solar
B	Brillante	Frita de titanio 1	Amarilleamiento
BK	Brillante	Frita de titanio 1, caolín	Amarilleamiento, más intenso
M	Mate	Frita de titanio 2	Sin cambios
MK	Mate	Frita de titanio 2, caolín	Sin cambios
STD	Brillante	Frita de circonio	Sin cambios
STDK	Brillante	Frita de circonio, caolín	Sin cambios

TABLA II. COLOR DE PARTIDA DE LOS VIDRIADOS Y VARIACIÓN DE DICHO COLOR ( $\Delta E^*$ ) TRAS LA IRRADIACIÓN CON LUZ ULTRAVIOLETA DURANTE UN PERIODO DE 3 HORAS\*.

Ref.	Iniciales				UV (3 horas)				$\Delta E^*$
	$L^*_R$	$a^*_R$	$b^*_R$	$Ib_R$	$L^*$	$a^*$	$b^*$	$Ib$	
B	95,2	-0,62	-0,08	88,4	94,1	0,17	2,66	73,3	3,0
BK	94,6	-0,57	0,49	84,3	93,4	-0,42	3,63	67,2	3,4
M	90,6	-0,46	0,60	74,7	90,2	-0,32	0,77	73,1	0,4
MK	91,7	-0,72	-0,16	80,6	91,2	-0,61	-0,03	79,0	0,5
STD	93,2	-0,07	0,30	82,1	92,6	0,10	0,67	79,0	0,7
STDK	93,2	-0,21	1,31	77,3	92,8	-0,09	1,59	75,0	0,5

\*Ensayos realizados según el procedimiento indicado en el apartado 3.1

Con el objeto de simular el cambio de color se realizaron una serie de ensayos exponiendo los vidriados a una fuente de luz ultravioleta, ensayándose diferentes tiempos de exposición, pudiéndose comprobar que el amarilleamiento que se producía en los vidriados B y BK era similar al observado cuando estas piezas se sometían a la radiación solar, siendo los tiempos de exposición relativamente cortos (3 horas como máximo). En la Tabla II se muestran los resultados de la determinación del color de los vidriados previa y posteriormente a su irradiación con una fuente de luz ultravioleta, así como el resultado de la determinación de la variación de color ( $\Delta E^*$ ).

Estos resultados concuerdan con lo observado industrialmente, y ponen de manifiesto que los vidriados blancos, opacos y brillantes preparados a partir de fritas que contienen titanio en su composición son los que dan lugar al efecto de amarilleamiento cuando son sometidos a una radiación ultravioleta.

Con el objeto de conocer si el efecto fotocromático que presentan estos vidriados está relacionado con la presencia de determinadas fases cristalinas, se llevó a cabo una cuantificación de las fases cristalinas presentes en los vidriados, indicándose en la Tabla III los resultados obtenidos. Las siglas abreviadas se corresponden con las siguientes fases cristalinas:

- E: Esfena (Titanita)- $CaTiSiO_5$
- W: Wollastonita- $CaSiO_3$
- D: Dióxido- $CaMgSi_2O_6$
- Q: Cuarzo- $SiO_2$
- Z: Circón- $ZrSiO_4$
- C: Cristobalita- $SiO_2$
- T: Tridimita- $SiO_2$
- Cl: Clinopiroxeno- $NaTiSi_2O_6$
- De: Dellaite- $Ca_6(SiO_4)(Si_2O_7)(OH)_2$

Se puede comprobar que los vidriados que presentan cambio de color con la luz ultravioleta (B y BK) son los que contienen esfena en su composición, siendo el contenido en esfena igual para las dos composiciones. En los vidriados mate, aunque presentan mayor cantidad de fases cristalinas, la presencia de fases con titanio es muy baja, no habiéndose identificado la esfena.

La observación de los vidriados cerámicos mediante microscopía electrónica de barrido (Figura 1), pone de manifiesto la mayor cantidad de cristales que presentan los vidriados M y MK, siendo estos cristales correspondientes a las fases cristalinas: cristobalita, diópsido y circón en la muestra M y a diópsido y circón en la muestra MK. Los vidriados B y BK presentan menor proporción de fases cristalinas, pudiéndose comprobar mediante microanálisis que se trata de la fase cristalina esfena.

Estos resultados, junto con la información encontrada en la bibliografía, permiten plantear como posibles causas del fotocromismo en estos vidriados la presencia de esfena y de impurezas de hierro, dado que la introducción de caolín en la composición no modifica prácticamente el contenido en esfena pero aumenta el contenido en hierro en el vidriado. Debido a ello este trabajo se centró en el estudio de la influencia de estas dos variables.

### 3. EXPERIMENTAL

Para la realización del trabajo se ha tomado como base una frita cerámica basada en el sistema SiO<sub>2</sub>-CaO-TiO<sub>2</sub>, que da lugar a vidriados opacos por desvitrificación de esfena, y cuya composición es (% en peso): 50-60 SiO<sub>2</sub>, 15-20 CaO, 4-8TiO<sub>2</sub>, 4-8 Al<sub>2</sub>O<sub>3</sub>, 4-8 B<sub>2</sub>O<sub>3</sub>-4-8 K<sub>2</sub>O, 1-3 MgO.

Las fritas ensayadas fueron obtenidas a escala piloto, mediante fusión a 1500°C. A partir de las fritas se prepararon piezas esmaltadas las cuales fueron cocidas en horno piloto empleando un ciclo de 50 minutos y una temperatura máxima de 1100°C. Las piezas obtenidas tras la cocción fueron utilizadas para la realización de los ensayos que se indican a continuación.

#### 3.1 Cuantificación del efecto fotocromico

Para llevar a cabo la cuantificación del efecto fotocromico se ha empleado un método de ensayo que asemeja el cambio de color que sufren las piezas vidriadas al ser sometidas a la luz solar. Las piezas vidriadas se exponen, durante tres horas, a una fuente de luz ultravioleta, procedente de una lámpara

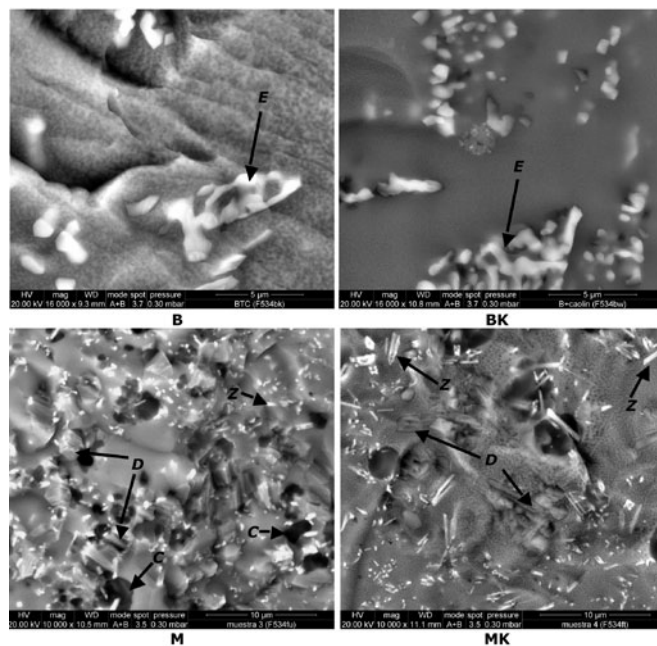


Figura 1. Observación de los vidriados brillantes y mates preparados con fritas de titanio. E: Esfena, C: Cristobalita, D: Diópsido, Z: Circón

de vapor de mercurio de 400W de potencia. Para determinar de forma fácil si la luz ultravioleta produce un cambio de color en el vidriado, a las piezas se les oculta la mitad de su superficie.

Transcurrido el tiempo de exposición, se dejan las piezas durante 30 minutos en el interior de la cámara, en la oscuridad, con el fin de que alcancen una temperatura adecuada para realizar la medida de color. La diferencia de color entre la pieza antes y después de ser sometida a la irradiación con ultravioleta ( $\Delta E^*$ ) se ha utilizado como variable para la cuantificación del fotocromismo.

$$\Delta E^* = \sqrt{(L^* - L^*_R)^2 + (a^* - a^*_R)^2 + (b^* - b^*_R)^2}$$

Siendo:

$L^*_R, a^*_R, b^*_R$ : coordenadas cromáticas correspondientes al vidriado previamente a ser sometido al ensayo de exposición a la luz ultravioleta.

$L^*, a^*, b^*$ : coordenadas cromáticas correspondientes al vidriado tras la realización del ensayo de irradiación.

A todas las piezas, previo y posteriormente a la exposición se les determinó el índice de blancura CIE GANZ ( $I_b$ )

TABLA III. RESULTADOS DE LA CUANTIFICACIÓN DE FASES REALIZADA MEDIANTE DRX A LOS VIDRIADOS CON TITANIO.

Ref.	Fases cristalinas (%)										Fase Amorfa (%)
	E	W	D	Q	Z	C	T	Cl	De		
B	15	13	<0,5	<0,5	--	--	--	--	--	--	75
BK	15	<0,5	<0,5	<0,5	--	--	--	--	--	--	85
M	--	--	26	<0,5	8	17	2	2	1	1	44
MK	--	--	23	1	7	4	1	7	<0,5	<0,5	57

E: Esfena (Titanita). W: Wollastonita. D: Diópsido. Q: Cuarzo. Z: Circón. C: Cristobalita. T: Tridimita. Cl: Clinopiroxeno. De: Dellaite.

### 3.2 Determinación del contenido en Fe<sub>2</sub>O<sub>3</sub>

La determinación de Fe<sub>2</sub>O<sub>3</sub> se ha llevado a cabo por espectrometría de fluorescencia de rayos X por dispersión de longitudes de onda, utilizando patrones de referencia que garantizan la trazabilidad de las medidas.

### 3.3 Caracterización microestructural

#### 3.3.1 IDENTIFICACIÓN Y CUANTIFICACIÓN DE LAS FASES PRESENTES EN LOS VIDRIADOS

Las fases cristalinas se identificaron por difracción de rayos X en muestras en forma de polvo, las cuales fueron obtenidas mediante la cocción de probetas de esmalte, en horno eléctrico de laboratorio a 1100°C y su posterior molienda. Las fases cristalinas presentes se cuantificaron por el método de Rietveld, utilizando un patrón interno para cuantificar la fase amorfa. Como patrón interno se utilizó la fluorita.

#### 3.3.2 OBSERVACIÓN POR MICROSCOPIA ELECTRÓNICA DE BARRIDO (MEB)

Las piezas cocidas en horno piloto se observaron mediante MEB, acoplado a un equipo de microanálisis de rayos X por dispersión de energías (EDXA). Las observaciones se realizaron sobre fracturas frescas de los vidriados.

## 4. INFLUENCIA DEL CONTENIDO EN HIERRO

A partir de la fritta tomada como referencia se han preparado composiciones de esmalte modificando el contenido en hierro de tres formas:

- Utilización de una fritta preparada con materias primas más puras.

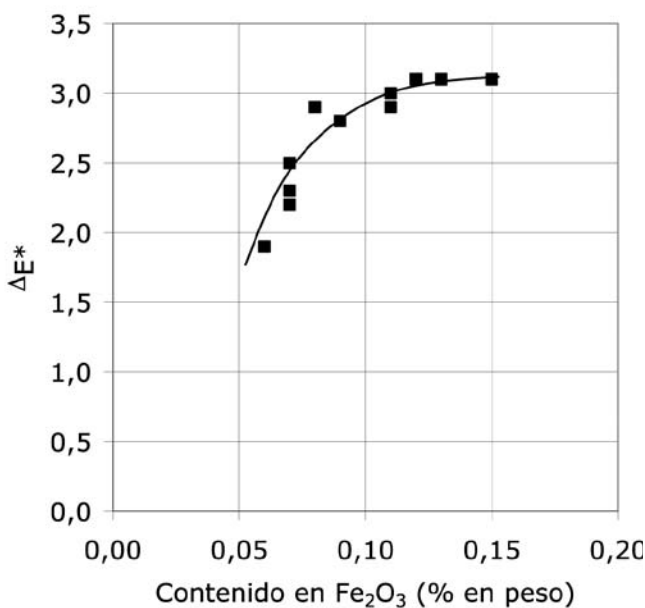


Figura 2. Variación del cambio de color con el contenido en Fe<sub>2</sub>O<sub>3</sub> de los esmaltes

- Adición de Fe<sub>2</sub>O<sub>3</sub> al esmalte: se ensayaron dos proporciones 0,01 y 0,03 % de Fe<sub>2</sub>O<sub>3</sub>
- Preparación de esmaltes con y sin caolín.

Para cada composición de esmalte se determinó el contenido en hierro (apartado 3.2). A partir de los esmaltes se prepararon piezas vidriadas en horno de laboratorio; mediante la cuantificación del cambio de color al ser expuestas a la luz ultravioleta, fue posible obtener la Figura 2.

La utilización de fritas preparadas a partir de materias primas más puras permitió la obtención de esmaltes con un contenido en Fe<sub>2</sub>O<sub>3</sub> del 0,06% en peso. La adición de caolín incrementa el contenido en Fe<sub>2</sub>O<sub>3</sub> un 0,04%. Haciendo combinaciones de las tres formas de modificación, fue posible obtener un intervalo de trabajo del 0,06% al 0,15% en peso de Fe<sub>2</sub>O<sub>3</sub>.

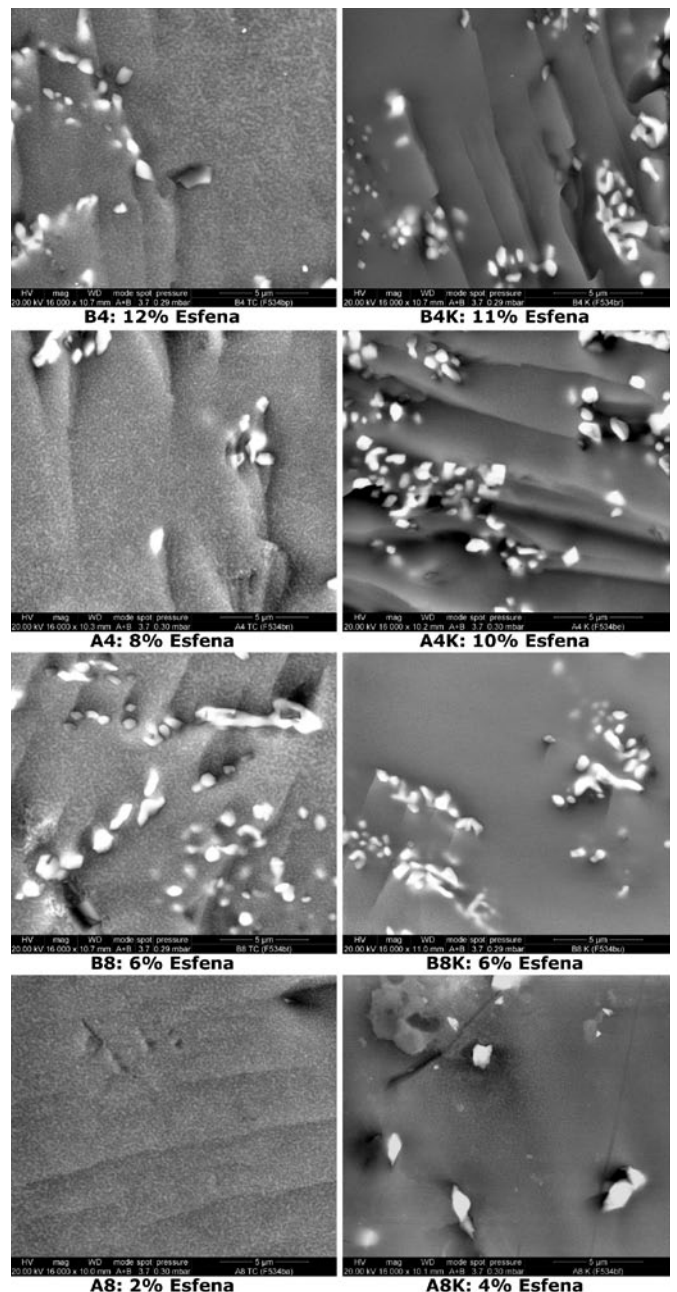


Figura 3. Observación de una fractura fresca de los vidriados

En la Figura 2 se puede observar que para contenidos en Fe<sub>2</sub>O<sub>3</sub> en el esmalte superiores al 0,1% la variación de color se estabiliza alrededor de un valor de 3,0.

Estos resultados ponen de manifiesto que para reducir el efecto fotocromico en los vidriados estudiados se debe trabajar con contenidos en Fe<sub>2</sub>O<sub>3</sub> lo más bajos posibles, lo cual implica la utilización de fritas preparadas con materias primas más puras y caolines con menor contenido en Fe<sub>2</sub>O<sub>3</sub>.

### 5. INFLUENCIA DEL CONTENIDO EN ESFENA

A partir de la frita tomada como referencia, la cual da lugar a esmaltes con un contenido en Fe<sub>2</sub>O<sub>3</sub> del 0,08% en peso, se han preparado fritas cerámicas modificando su composición con vistas a disminuir la proporción de esfena en los vidriados. Se han ensayado dos series en las cuales se han reducido, teniendo en cuenta la estequiometría de la esfena, los óxidos que forman esta fase cristalina (CaO, SiO<sub>2</sub> y TiO<sub>2</sub>):

- Serie A: reducción del contenido en CaO, SiO<sub>2</sub> y TiO<sub>2</sub> a costa de aumentar proporcionalmente el resto de óxidos (A4 y A8).
- Serie B: reducción del contenido en CaO y TiO<sub>2</sub> a costa de aumentar el contenido en SiO<sub>2</sub>, dado que este último no es limitante en la formación de la esfena (B4 y B8).

A partir de las nuevas fritas se han preparado esmaltes con y sin caolín (a las muestras con caolín se ha añadido a la referencia una K), habiéndose conseguido ocho nuevas composiciones con distintos contenidos en la fase cristalina esfena. En la Tabla IV se muestran los resultados de la cuantificación de las fases realizada a los nuevos vidriados, incluyéndose también los resultados correspondientes a los vidriados de partida (B y BK). Para los ocho nuevos vidriados se han identificado las mismas fases que en los vidriados de partida.

Se puede observar (Tabla IV) que con las modificaciones realizadas se han conseguido vidriados con distintos contenidos en esfena. Al añadir caolín a las composiciones se

TABLA IV. RESULTADOS DE LA CUANTIFICACIÓN DE FASES REALIZADA MEDIANTE DRX A LOS VIDRIADOS CON TITANIO.

Ref.	Fases cristalinas (%)				Fase Amorfa (%)
	E	W	D	Q	
B	15	13	<0,5	<0,5	75
BK	15	<0,5	<0,5	<0,5	85
A4	8	<0,5	5	<0,5	87
A4K	10	<0,5	2	<0,5	88
A8	2	<0,5	5	<0,5	93
A8K	4	<0,5	2	<0,5	94
B4	12	<0,5	4	<0,5	74
B4K	11	<0,5	2	<0,5	87
B8	6	12	4	<0,5	78
B8K	6	<0,5	2	<0,5	92

E: esfena, W:wollastonita, D: diópsido, Q: cuarzo.

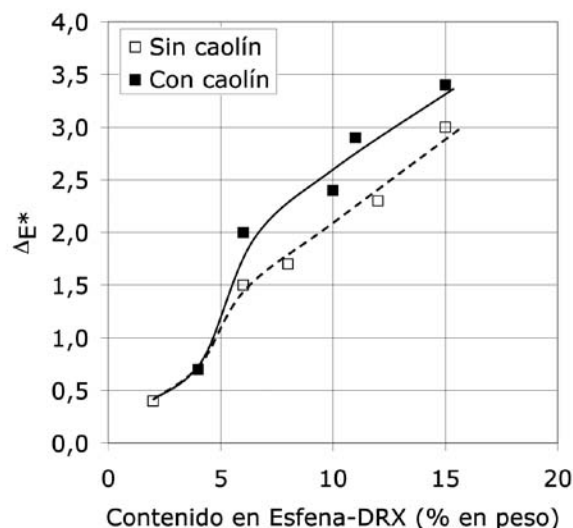


Figura 4 Variación del cambio de color con el contenido en esfena de los vidriados

TABLA V COLOR DE PARTIDA DE LOS VIDRIADOS Y VARIACIÓN DE DICHO COLOR (ΔE\*) TRAS LA IRRADIACIÓN CON LUZ ULTRAVIOLETA DURANTE UN PERIODO DE 3 HORAS\*.

Ref.	Iniciales				UV (3 horas)				ΔE*
	L <sub>R</sub> *	a <sub>R</sub> *	b <sub>R</sub> *	Ib <sub>R</sub>	L*	a*	b*	Ib	
B	95,2	-0,62	-0,08	88,4	94,1	0,17	2,66	73,3	3,0
BK	94,6	-0,57	0,49	84,3	93,4	-0,42	3,63	67,2	3,4
A4	92,3	-0,74	-0,16	82,1	91,7	-0,34	1,36	73,6	1,7
A4K	91,5	-0,59	0,65	76,5	90,6	-0,18	2,88	63,9	2,4
A8	90,9	-1,07	-1,21	84,0	90,8	-1,01	-0,90	82,1	0,4
A8K	85,9	-0,44	0,42	65,7	85,7	-0,35	1,11	61,8	0,7
B4	94,1	-0,72	-0,22	86,5	93,2	-0,33	1,87	74,8	2,3
B4K	93,0	-0,60	0,32	81,6	92,0	-0,15	2,95	66,9	2,9
B8	92,7	-0,81	-0,44	84,2	92,1	-0,52	0,87	76,8	1,5
B8K	90,7	-0,51	0,17	77,0	89,9	-0,12	2,00	66,5	2,0

\*Ensayos realizados según el procedimiento indicado en el apartado 3.1

TABLA VI COLOR DE PARTIDA DE LOS VIDRIADOS Y VARIACIÓN DE DICHO COLOR ( $\Delta E^*$ ) TRAS LA IRRADIACIÓN CON LUZ ULTRAVIOLETA DURANTE UN PERIODO DE 3 HORAS\*.

Ref.	Iniciales				UV (3 horas)				$\Delta E^*$
	$L^*_R$	$a^*_R$	$b^*_R$	$Ib_R$	$L^*$	$a^*$	$b^*$	$Ib$	
A8	90,9	-1,07	-1,21	84,0	90,8	-1,01	-0,90	82,1	0,4
STD	93,2	-0,07	0,30	82,1	92,6	0,10	0,67	79,0	0,7

\*Ensayos realizados según el procedimiento indicado en el apartado 3.1

obtienen vidriados con una mayor proporción de fase vítrea, es decir, inhibe la formación de fases cristalinas. También se puede comprobar que se consiguen mayores reducciones de la esfena en la serie A, donde se disminuye la proporción de los elementos que contienen dicha fase ( $CaO$ ,  $SiO_2$  y  $TiO_2$ ) a costa de aumentar el resto de elementos.

En la Figura 3 se observa el seno de los vidriados cerámicos ensayados en los que se puede apreciar que la fase cristalina mayoritaria es la esfena. Los vidriados preparados sin caolín presentan una clara separación de fases. El caolín inhibe la formación de dicha separación de fases. En el vidriado A8 no se observa la fase cristalina esfena, únicamente se observa una separación de fases, causante de la opacidad en este vidriado.

En la Tabla V se muestran los resultados de la determinación del color y de los cambios que se producen al someter estas muestras a la luz ultravioleta. En la Figura 4 se ha representado la variación de color que presentan los vidriados con la luz ultravioleta en función de su contenido en esfena. Puede comprobarse que al aumentar el contenido en esfena se acentúa el fotocromismo de los vidriados. Asimismo, los vidriados preparados empleando caolín presentan, para el mismo contenido en esfena, un fotocromismo mayor, lo cual se explica por el mayor contenido en  $Fe_2O_3$  de éstos.

El vidriado A8 presenta una blancura aceptable y una variación de color con la luz ultravioleta prácticamente nula, equivalente a la presentada por los vidriados de circonio (STD) (Tabla VI). La opacidad en este vidriado no está causada por la presencia de esfena sino por la existencia de separación de fases y, debido a ello, aun siendo la opacidad ligeramente inferior (menores valores de la coordenada cromática  $L^*$ ), presenta una elevada blancura ocasionada por su tonalidad más azulada (valores inferiores de  $b^*$ ).

## 6. CONCLUSIONES

Mediante la realización de este trabajo se ha puesto de manifiesto que el efecto fotocromático de los vidriados que contienen esfena depende del contenido en impurezas de  $Fe_2O_3$  y de la cantidad de esfena presente en el vidriado. A medida que aumentan estos dos parámetros aumenta la magnitud del efecto fotocromático.

Mediante la modificación de una composición de frita con titanio ha sido posible obtener vidriados blancos, opacos y brillantes que no presentan efecto fotocromático. En dichos vidriados la proporción de esfena es prácticamente nula siendo la opacidad debida a la presencia de una separación de fases en el vidriado.

## BIBLIOGRAFÍA

- (1) Chromism. <http://homepage.ntlworld.com/colin.pratt/Chromism.pdf>
- (2) VINCENZINI, P.; BIFFI, G.; ORTELLI, G.  $TiO_2$  as an opacifier of ceramic glazes firing in the range 900-1000°C. *Ceramurgia*, 5(1), 3-12, 1975.
- (3) CHEN, G.K.; LIU, H.S. FTIR, DTA and XRD study of sphene ( $CaTiSiO_5$ ) crystallization in a ceramic frit and a non-borate base glass. *J. Mater. Sci.*, 29, 2921-2930, 1994.
- (4) BOU, E.; MORENO, A.; ESCARDINO, A.; GOZALBO, A. Microstructural study of opaque glazes obtained from frits of the system:  $SiO_2-Al_2O_3-B_2O_3-(P_2O_5)-CaO-K_2O-TiO_2$ . *J. Eur. Ceram. Soc.*, 27, 1791-1796, 2007.
- (5) TEIXEIRA, S.; BERNARDIN, A.M. Development of  $TiO_2$  white glazes for ceramic tiles. *Dyes and Pigments*, 80, 292-296, 2009.
- (6) PARMELEE, C.W. *Ceramic glazes*. 3rd ed. Boston: Cahners Books, 1973.
- (7) WILLIAMSON, W.O. The reversible darkening in daylight of some glazes containing titanium. *Trans. J. Br. Ceram. Soc.*, 39, 345-368, 1940.
- (8) WINKLER, J. *Titanium dioxide*. Hannover: Vincentz verlag, 2003.
- (9) MCTAGGART, F.K.; BEAR, J. Phototropic effects in oxides I. Titanium dioxide. *J. Appl. Chem.* 5, 643-653, 1955.
- (10) WEYL, W.A.; FÖRLAND, T. Photochemistry of rutile. *Ind. Eng. Chem.*, 42, 257-263, 1950.
- (11) SHISEIDO Co., Ltd. Photochromic flesh-colored pigment and process for producing the same. US5176905. 1993-01-05.
- (12) GAFT, M.; REISFELD, R.; PANCZER, G. *Modern luminescence spectroscopy of minerals and materials*. Berlin: Springer, 2005. Chap 4 Luminescent Minerals, p.45-118.

Recibido: 01/03/2012  
Aceptado: 11/04/2012